印加電圧の周波数が二電極法におけるモルタル中の電流密度分布に与える影響

大阪大学大学院工学研究科 学生会員 〇眞下 裕也 大阪大学大学院工学研究科 正会員 寺澤 広基 大阪大学大学院工学研究科 正会員 鎌田 敏郎 大阪大学大学院工学研究科 学生会員 工藤 正智 大阪大学大学院工学研究科 正会員 服部 晋一

1. はじめに

本研究では、モルタルおよび電極を模擬した解析モデルを用いた3次元有限要素法による電場解析を行い、印加電圧の周波数が二電極法におけるモルタル中の電流密度分布に与える影響について検討した。加えて、電流密度分布から、二電極法により測定される電気抵抗に影響を与える表面からの深さについて考察した。

2. 電場解析の概要

本研究では、電場および導体内における電流分布シミュレーションを目的とした電場解析ソフトウェア (VOLT-jω) を用いた. 解析モデルを図ー1 および図ー2 に示す. 電極の接触面から供試体の深さ方向の電流密度分布を検討するため、モルタル部および電極部は、Y軸方向の2分の1のモデルとして解析した.

モルタル部の寸法は, 横幅を 750mm, 縦幅を 375mm, 高さを 300mm とした. 電極部の寸法は, 横幅を 50mm, 縦幅を 25mm, 高さを 10mm とした. 電極内側端部間の距離は 30mm とした. 節点電位は, 一方の電極上端の節点を 30V, もう一方の電極上端の節点を 0V とし, 周波数は 10²Hz, 10¹Hz, 1Hz, 10Hz, 10²Hz, 10³Hz, 10⁴Hz および 10⁵Hz の 8 水準とした.

モルタル部および電極部の物性値は、それぞれ一様に設定した。各周波数におけるモルタル部の物性値は、モルタル供試体を対象とした実験により算出した。表-1に設定したモルタル部の物性値を示す。また、電極部の物性値は、比誘電率を1.0、電気伝導率を1.4×10⁶S/mとした。これらの値は、SUS304の一般的な物性値である。

3. 電場解析の結果および考察

3.1 周波数と電流密度分布との関係

各周波数における評価位置の電流密度を**図-3** に示す. 図より, 周波数が大きくなるにしたがい, 電流密度は大きくなる傾向を示した.

続いて、電流密度の実部成分と虚部成分を求めた.電流密度の実部成分は入力された電圧と同じ位相で流れ

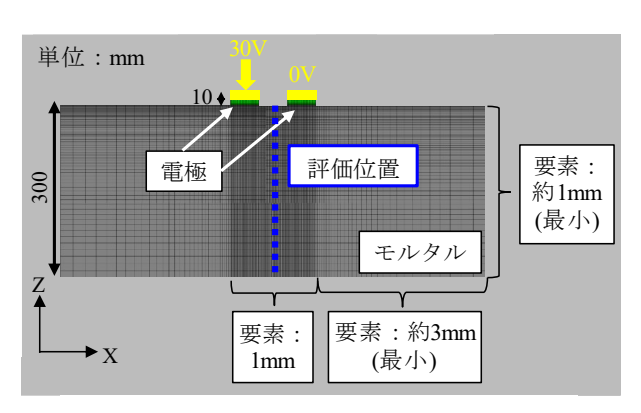


図-1 解析モデル (X-Z 方向)

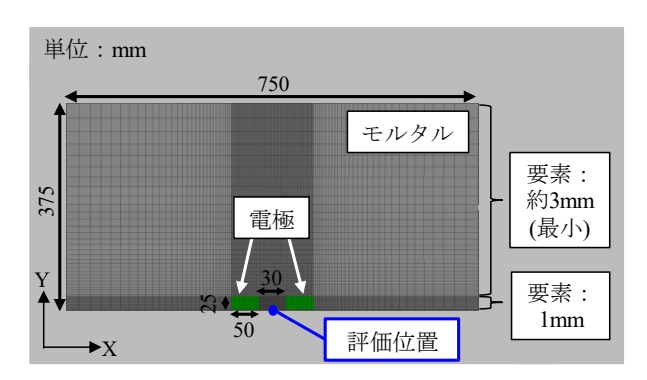


図-2 解析モデル(X-Y方向)

る電流であり、抵抗としての導電性を示す.一方、電流密度の虚部成分は入力された電圧から-90°の位相のずれを持つ電流であり、コンデンサーとしての容量性を示す.各周波数における評価位置の電流密度の実部成分を図-4に、虚部成分を図-5に示す.図-4より、周波数が大きくなると、電流密度の実部成分は大きくなり、電流密度の絶対値と同様の傾向が確認された.一方、図-5より、電流密度の虚数成分は、1Hz~10²Hzの周波数域においては小さく、その他の周波数域では大きくなり、絶対値および実部成分と異なる周波数特性が確認された.また、図-4と図-5を比較すると、いずれの周波数において、虚数成分に比べ、実数成分はきわめて大きくなった。すなわち、二電極法によるモルタル中の電流密度(絶対値)の周波数特性は、電流密度の実部成分の周波数特性が支配的要因であることが明らかとなった。

キーワード 非破壊試験法,二電極法,電流密度分布,周波数 連絡先 〒565-0871 大阪府吹田市山田丘 2-1 大阪大学工学研究科 TEL06-6879-7618

表一1 モルタル部の物性値								
周波数(Hz)	10-2	10-1	1	10	102	103	104	105
比誘電率	2.59×10^9	1.96×10^{8}	8.17×10^{6}	3.19×10^{5}	7.14×10^4	1.87×10^{4}	2.31×10^{3}	1.48×10^{2}
電気導電率 (S/m)	4.44 × 10 ⁻³	5.67×10^{-3}	6.33 × 10 ⁻³	6.58×10^{-3}	6.82×10^{-3}	7.98 × 10 ⁻³	1.05 × 10 ⁻²	1.18 × 10 ⁻²
8 (/w/A) 6 4 2 0 0	25	-X- -X- 	10 ⁵ Hz 10 ⁴ Hz 10 ³ Hz 10 ² Hz 10Hz 1Hz 10-1Hz 10-2Hz		8 (元W/W) (海報) 4 2 0 0	25		10 ⁴ Hz

図-3 評価位置における電流密度分布

表面からの深さ(mm)

3.2 電気抵抗測定に影響を与える表面からの深さ

既往の研究 1)を参考に、評価位置における電流密度 の最大値を自然対数の底で除した値に相当する表面か らの深さを, 二電極法により測定される電気抵抗に影響 を与える表面からの深さ(以下,電流透過深さ)と定義 した. 各周波数における電流密度の絶対値, 実部成分お よび虚部成分より求めた電流透過深さを図-6に示す. 図より,周波数が実部成分および虚部成分の電流透過深 さに与える影響はみられなかったが、実部成分より求め た電流透過深さと比べて, 虚部成分より求めた電流透過 深さは小さくなった. 3.1 より, 実部成分と虚部成分の 周波数特性が異なることが確認されたため, 周波数によ って実部成分と虚部成分との相対的な大きさが変化し、 絶対値の電流透過深さが変化すると考えられる. しかし ながら, 周波数が絶対値より求めた電流透過深さに与え る影響はみられなかった. これは、電流密度の絶対値に おいて, 実部成分が支配的であるため, 絶対値による求 めた電流透過深さが変化しなかったと考えられる.

以上より、10²Hz~10⁵Hz の周波数帯において、二電極法により測定される電気抵抗に影響を与える表面からの深さは同程度であると考えられる.

4. 結論

- (1) 周波数が大きくなるにしたがい、モルタル中の電流密度は大きくなる傾向を示した.
- (2) 10°2Hz~10°Hzの周波数帯において、モルタル中 の電流密度は変動するものの、電流透過深さは 同程度であると考えられる.

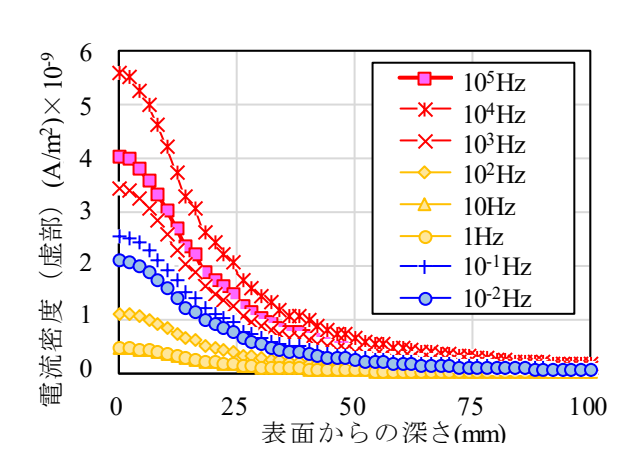


図-4 電流密度分布(実部成分)

表面からの深さ(mm)

図-5 電流密度分布(虚部成分)

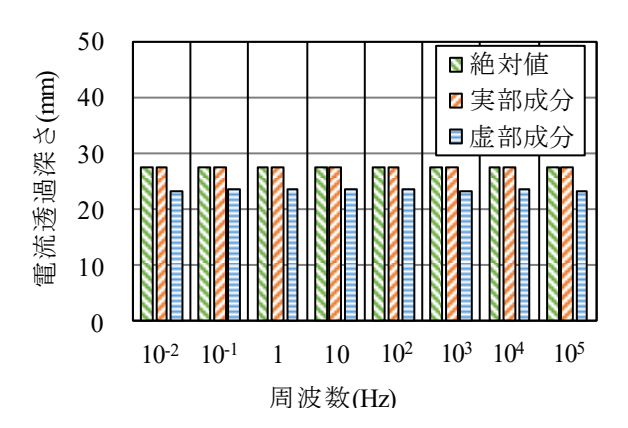


図-6 周波数と電流透過深さとの関係

参考文献

1) 福上大貴,内田慎哉,鎌田敏郎,服部晋一,工藤正智:二電極法におけるモルタル中の電流密度に関する解析的検討,コンクリート構造物の補修,補強,アップグレード論文報告集,第16巻,pp.329-334,2016